

Üstte İslak-Alta Kaynaklı Bağlantıların Kafes Kiriş Analojisi İle Modellemesi

NUMERICAL MODELING OF EMULATIVE-WELDED BEAM-COLUMN CONNECTIONS WITH NONLINEAR TRUSS ANALOGY

ABSTRACT

Emulative-welded beam-column connections have been applied extensively in precast concrete industry in Turkey for decades. Beam bottom longitudinal rebars are welded to beam plate while top longitudinal rebars are placed at the formed gap in the joint panel in this type of connections. Experimental studies revealed that unbonding of welded longitudinal reinforcing bars in a sleeve over a length of precast beam could reduce the strain demands. This study presents a numerical model including nonlinear cyclic truss model for emulative-welded beam-column connections. Nonlinear steel and concrete truss elements are used to represent steel reinforcement and concrete areas in the vertical, horizontal and diagonal directions. Nonlinear beam-column elements are used to model beam and columns. Lateral load-drift ratio relations for the measured and computed cyclic responses of a precast connection are compared. Initial stiffness, energy dissipation and deformations are evaluated for numerical model.

ÖZET

Prefabrik yapılarda üstte İslak-Alta kaynaklı kolon-kiriş bağlantıları yaygın olarak uygulanmaktadır. Bağlantılarda kiriş alt boyuna donatıları kiriş alt plakasına kaynaklanmaktadır; kiriş üst

boyuna donatılarının kolon içinde birleşim panelinde oluşturulan boşluktan sürekliliği sağlanmaktadır. Aderans bozulması yaklaşımı ile kaynaklı kiriş alt boyuna donatılarında birim deformasyon taleplerinin azaltılabilceği gerçekleştirilen deneysel çalışmalarla belirlenmiştir. Bu çalışmada üstte İslak-Alta kaynaklı kolon-kiriş bağlantıları için doğrusal olmayan kafes kiriş analojisini esas alan sayısal model kurulmuştur. Kafes kiriş modelinde yatay, düşey ve diyagonal doğrultulardaki donatı ve beton için doğrusal olmayan kafes çubuklar kullanılmıştır. Birleşim bölgesi dışındaki kolon ve kirişlerde ise lif esaslı kolon-kiriş elemanları tanımlanmıştır. Deneysel çalışma ile sayısal modelde elde edilen tepe yükü-ötelenme oranı ilişkileri karşılaştırılmıştır. Sayısal modelde hesaplanan başlangıç rıjitliği, enerji tüketimi ve deformasyonlar değerlendirilmiştir.

1. GİRİŞ

Kolon-kiriş birleşim bölgelerinin, prefabrik yapıların sismik performansını belirleyen en önemli etmen olduğu önceki çalışmalarda ve depremler sonrası saha gözlem raporlarında vurgulanmıştır. Prefabrik betonarme yapıarda bağlantıların geliştirilmesi ve monolitik sistem davranışına eşdeğerliğini belirlemek üzere yapılan araştırmalar günellikini korumaktadır.

Prefabrik yapı endüstrisinde yaygın bir uygulama alanı bulan üstte İslak-Alta kaynaklı kolon-kiriş bağlantılarının çevrimisel davranışlarının belirlenmesi ve iyileştirilmesi için deneysel çalışmalar



Dr. Müh. Sadık Can GİRGIN

Dokuz Eylül Üniversitesi İnşaat Mühendisliği Bölümü'nden 2004 yılında mezun oldu. 2008 yılında DEÜ İnşaat Mühendisliği Anabilim Dalında "Yapışsal olmayan (ikincil) sistemlerin dinamik analizi" yüksek lisans tez çalışmasını tamamladı. 2012 yılında ABD'de California Üniversitesi-Berkeley'de misafir araştırmacı olarak bulundu. 2014 yılı Mayıs ayında "Moment aktaran prefabrik betonarme kompozit iç kolon-kiriş bağlantılarının iyileştirilmesi" doktora tez çalışması ile doktora çalışmalarını tamamladı. Doktora sonrası çalışmalarını TÜBİTAK bursu ile ABD'de Virginia Politeknik ve Eyalet Üniversitesi'nde 2016 yılında tamamladı. 2007 yılından bu yana DEÜ İnşaat Mühendisliği Bölümünde araştırma görevlisi olarak görev yapmaktadır.

gerçekleştirilmiştir. Çalışmalarda kiriş alt boyuna donatısı-kiriş alt plakasına yakın bölgede birim deformasyonların artış gösterdiği vurgulanmıştır [1,2]. Üstte İslak-Alta kaynaklı kolon-kiriş bağlantılarında; kiriş alt plakasına kaynaklı boyuna donatıda aderans bozulması yaklaşımı uygulanarak, birim



Prof. Dr. Serap KAHRAMAN

Prof. Dr. Serap Kahraman, lisans eğitimini Orta Doğu Teknik Üniversitesi, yüksek lisans ve doktora eğitimini Dokuz Eylül Üniversitesi'nde tamamladı. Akademik çalışmalarını Dokuz Eylül Üniversitesi İnşaat Mühendisliği Bölümü'nde sürdürmektedir.

Mukavemet, ileri yapı statiği, sonlu elemanlar yöntemi, plak teorisi derslerini vermekte, deneysel yapı mekaniği, deprem riski, deprem hasarlarının azaltılması, betonarme yapıların deprem performanslarının iyileştirilmesi, kullanıcı dostu güçlendirme yöntemleri, yapı sağlığını gözlenmesi, mühendislik eğitimi üzerine çalışmaktadır.

deformasyonların azaltılması ve donatı burkulması önlenebilmiştir [2].

Yapısal sistemlerin değerlendirilmesinde uygulanacak analitik yöntemlerin yapıda gelişebilecek hasar modları ile rijitlik, enerji tüketimi ve dayanım karakteristiklerini yansıtılabilmesi gereklidir [3]. Aderans bozulması yaklaşımı uygulanan betonarme kesitlerde, Euler-Bernoulli hipotezi ve uygunluk koşulları geçerli olmayıp, buna uygun analitik yöntemler seçilmelidir [4]. Betonarme yapıların sayısal benzeştirilmesinde uygulanan modelleme yaklaşımları; yıgılı plastisite, yayılı plastisite, makro modeller ve kafes sistem modelleri olmak üzere dört ana başlıkta toplanabilir.

Yıgılı plastisite modelleri kolon ve kiriş eleman uçlarında eğilme ve kesme yaylarının belirli bir çevrimisel kurala uygun tanımlanması ile oluşturulmaktadır. Pampanin v.d. (2001) çalışmada, aderansız boyuna donatı bulunan ard-germeli kolon-kiriş bağlantılarında kesit dönmesi esası ve taraflı ekstenziyonel derinliğine bağlı iteratif bir analitik yöntem önermiştir [5].

Yayılı plastisite yaklaşımı yalnızca eğilme etkilerini dikkate almaktır ve betonarme kesitler tek eksenli beton ya da donatı çeliği malzeme modelleri tanımlanan liflere ayrılmaktadır [6]. Jeong v.d. (2008), ard-germeli köprü kolonları için lif-esaslı analitik model önermiştir ve aderans bozulma boyu içerisinde boyuna donatılardaki birim deformasyonların sabit olduğunu varsayılmıştır [7]. Trono v.d. (2013), ard-germeli kolon testlerinin sayısal model çalışmalarında, aderans bozulma boyu bulunan donatıları kafes çubukları, lif esaslı kesite rijit bağlı olarak tanımlamıştır [8].

Kafes kiriş analogisi betonarme elemanlarda kesme etkilerinin modellenmesi amacı ile geliştirilmiştir. To v.d. (2009) monolitik iç kolon-kiriş birleşimlerinin kafes sistem modelleri ile çevrimisel yükleme etkileri altında analizlerini gerçekleştirmiştir [9]. Betonarme perdelemelerin çevrimisel davranışının sayısal benzeştirilmesinde Lu ve Panagiotou (2014) tarafından sonlu eleman boyut etkilerini dikkate alan kafes sistem modeli geliştirilmiştir [10]. Moharrami v.d. (2015) kesme etkilerine karşı yetersiz kolonlarda agrega kenetlenmesinin kesmeye katkısını dikkate alan kafes sistem modeli önermiştir [11]. Bowers (2014) çalışmada, sünekliği yetersiz betonarme çerçevelerde kolon-kiriş birleşim bölgelerinde kafes sistem modelini; birleşim bölgesi dışındaki kolon

ve kiriş elemanlarında ise yayılı plastisite yaklaşımını uygulamıştır [12].

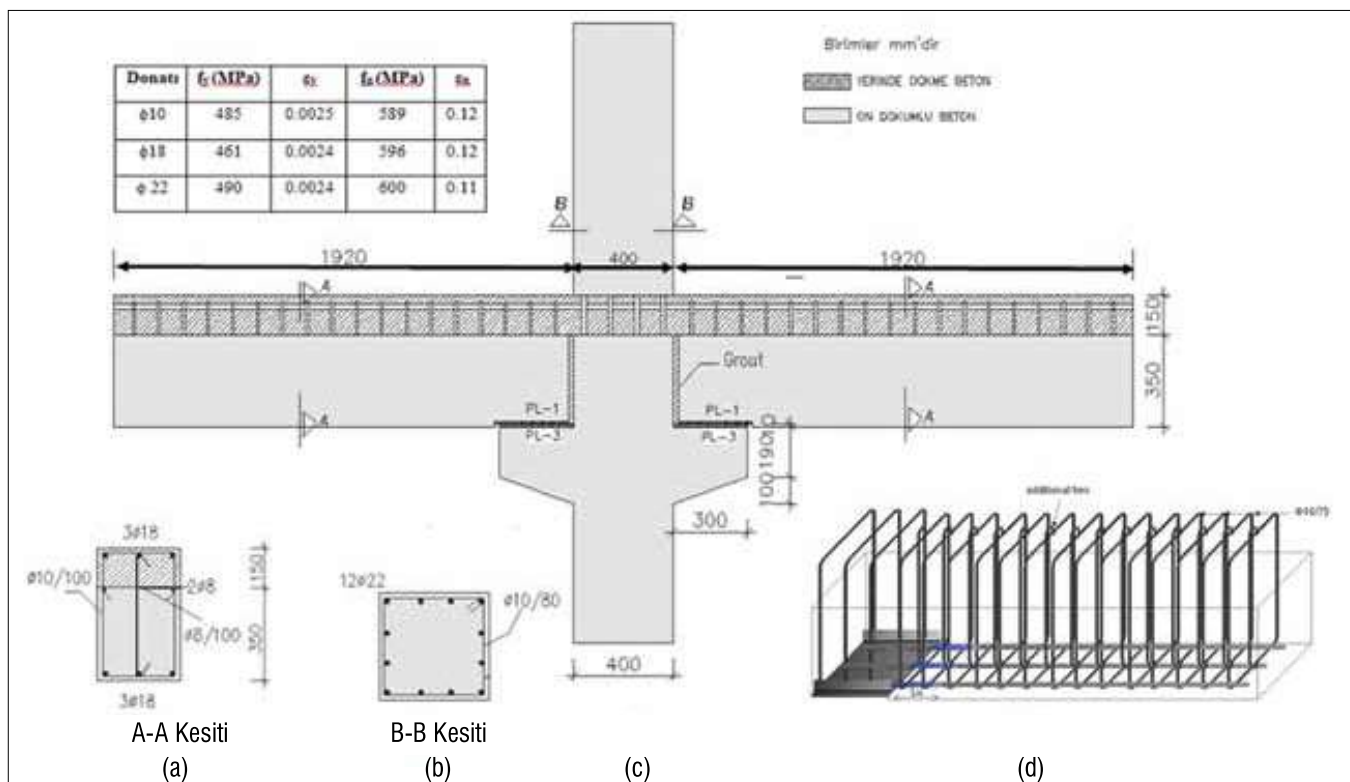
Çalışma kapsamında, üstte ıslak-altta kaynaklı kolon-kiriş bağlantı testlerinin sayısal benzeşimi için doğrusal olmayan kafes sistem yaklaşımı uygulanarak sayısal model çalışmaları sunulmuştur. Deneyel çalışma ile sayısal model, yatay yük- ötelenme oranı ilişkileri ve enerji tüketimlerine göre karşılaştırılmıştır.

2. DENEYSEL ÇALIŞMA

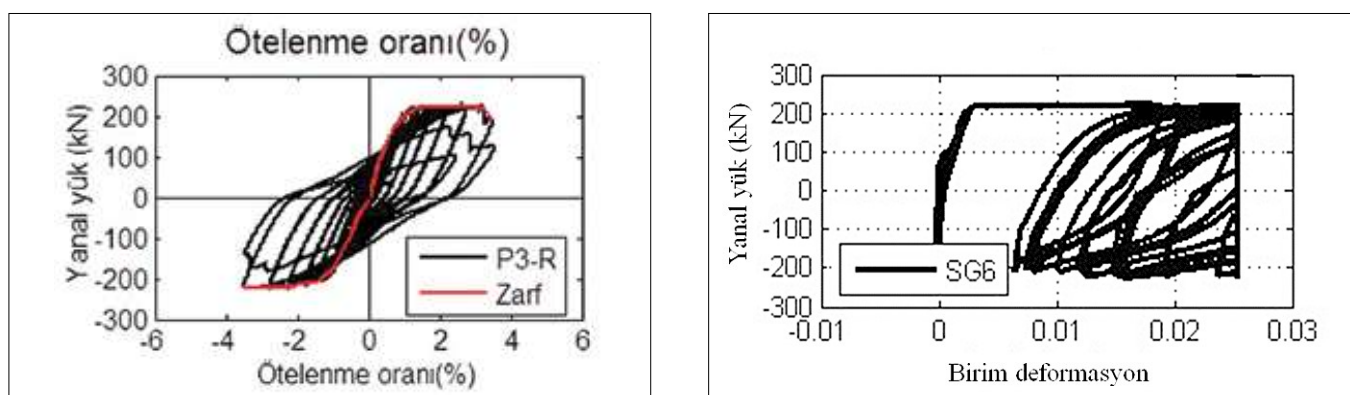
Üstte ıslak-altta kaynaklı kolon-kiriş bağlantılarının çevrimisel davranışının iyileştirilmesi kapsamında yapılan deneyel çalışmada incelenen bağlantı numunesi detayları ve test sonuçları özetlenmiştir [13]. P3-R kolon-kiriş bağlantı numunesi boyutları ve donatı detayları Şekil 1'de verilmektedir.

Kiriş alt boyuna donatısının plaka ile kaynaklandığı bölgede aderans bozulması çelik kılıf kullanılarak uygulanmıştır (Şekil 1d).

Deneyler numunelerin elastik ötesi davranışlarının geniş bir bölgede ortaya konabilmesi için % 5 görelî kat ötelenmesine kadar sürdürmüştür. P3-R numunesinde ilk eğilme kesme çatlaklı %0.35 ve %1 ötelenme oranlarında gözlenmiştir. Birleşimdeki ilk diyagonal çatlaklı %1.4 ötelenme oranında gelişmiştir. İtme ve çekme yönlerinde maksimum dayanıma %2.2 ötelenme oranında ulaşılmış, %3.5 ötelenme oranının ikinci gevrimine kadar dayanımda azalma gözlenmemiştir. P3-R numunesinde donatı burkulması engellenmemiştir (Şekil 2a). Kiriş alt plakasına kaynaklı boyuna donatılarda gelişen birim deformasyonların yatay yüze bağlı değişimi Şekil 2b'de verilmiştir. Aderans bozulması ile boyuna donatılarda birim deformasyon talepleri azaltılmıştır.



Şekil 1. P3-R kolon-kiriş bağlantısı (a) Kiriş ve (b) Kolon en kesitleri, (c) Birleşim bölgesi, (d) Aderans bozulması uygulanması [13].



Şekil 2. (a) P3-R numunesi yatay yük-öteleme oranı ilişkisi,

(b) Kiriş alt boyuna donatısı birim deformasyonlarının değişimi

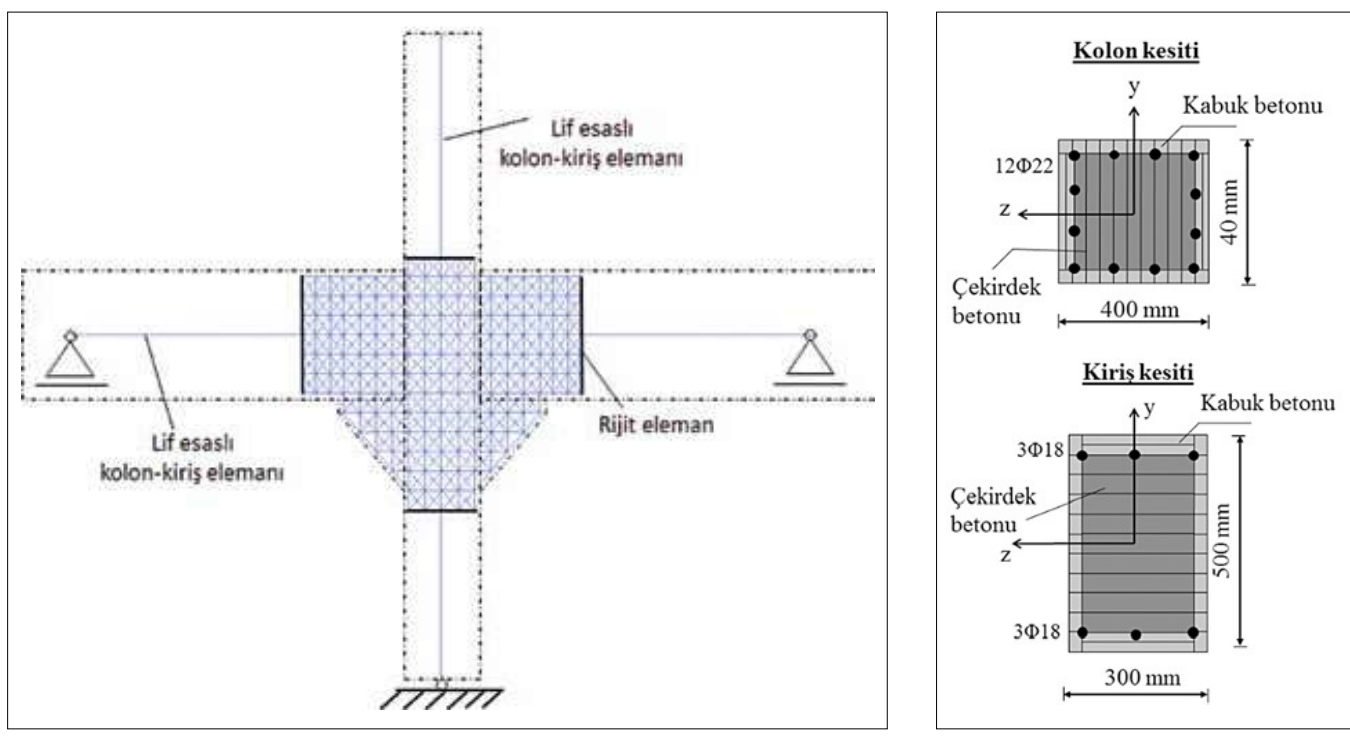
3. SAYISAL MODEL

Sayısal model çalışmaları, yapı ve deprem mühendisliğinde kullanılan OpenSees sonlu elemanlar yazılımı ile gerçekleştirilmiştir [14]. Üstte ıslak-altta kaynaklı prefabrik kolon-kiriş bağlantıları için oluşturulan sayısal modelde, hem doğrusal olmayan kafes kiriş modelleme yaklaşımı, hem de yayılı plastisite yaklaşımı esas alınmıştır. Ka-

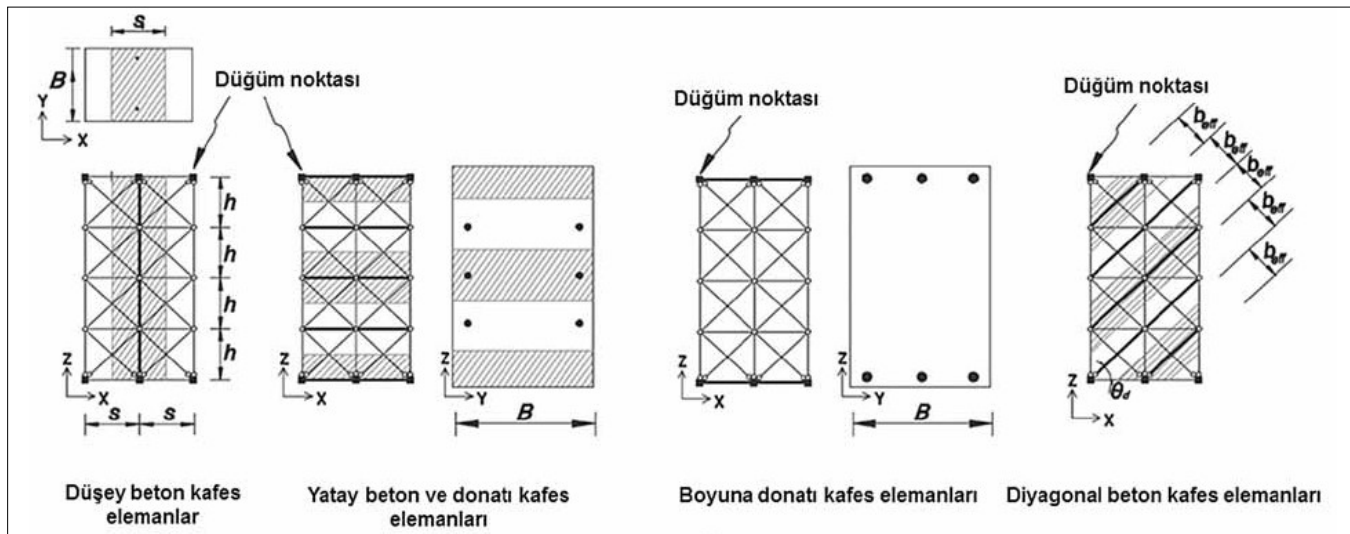
fes kiriş modelleme yaklaşımı kolonda birleşimde, aderans bozulmasının bulunduğu kiriş uzunluğu içinde ve kısa konsolda uygulanmıştır. Birleşim bölgesi dışında bulunan kolon ve kiriş elemanlar ise doğrusal olmayan lif esaslı kolon-kiriş elemanı ile tanımlanmıştır. Kolon ve kirişler, rıjıt elemanlarla kafes sisteme bağlantısı sağlanmıştır (Şekil 3a).

Yayılı plastisite yaklaşımında kuvvet esaslı formülasyonda eleman boyunca her kesitte kuvvet ara değer fonksiyonu için denge sağlandığından yerdeğiştirme esaslı formülasyona göre daha avantajlıdır [15]. Kolon ve kirişler bir kuvvet esaslı doğrusal olmayan eleman ve iki integrasyon noktası ile tanımlanmıştır (Şekil 3b).

Kafes kiriş modelinde, doğrusal ol-



Şekil 3. (a) Prefabrik kolon-kiriş bağlantıları için kurulan sayısal model,
(b) Lif esaslı kolon ve kiriş eleman kesitleri

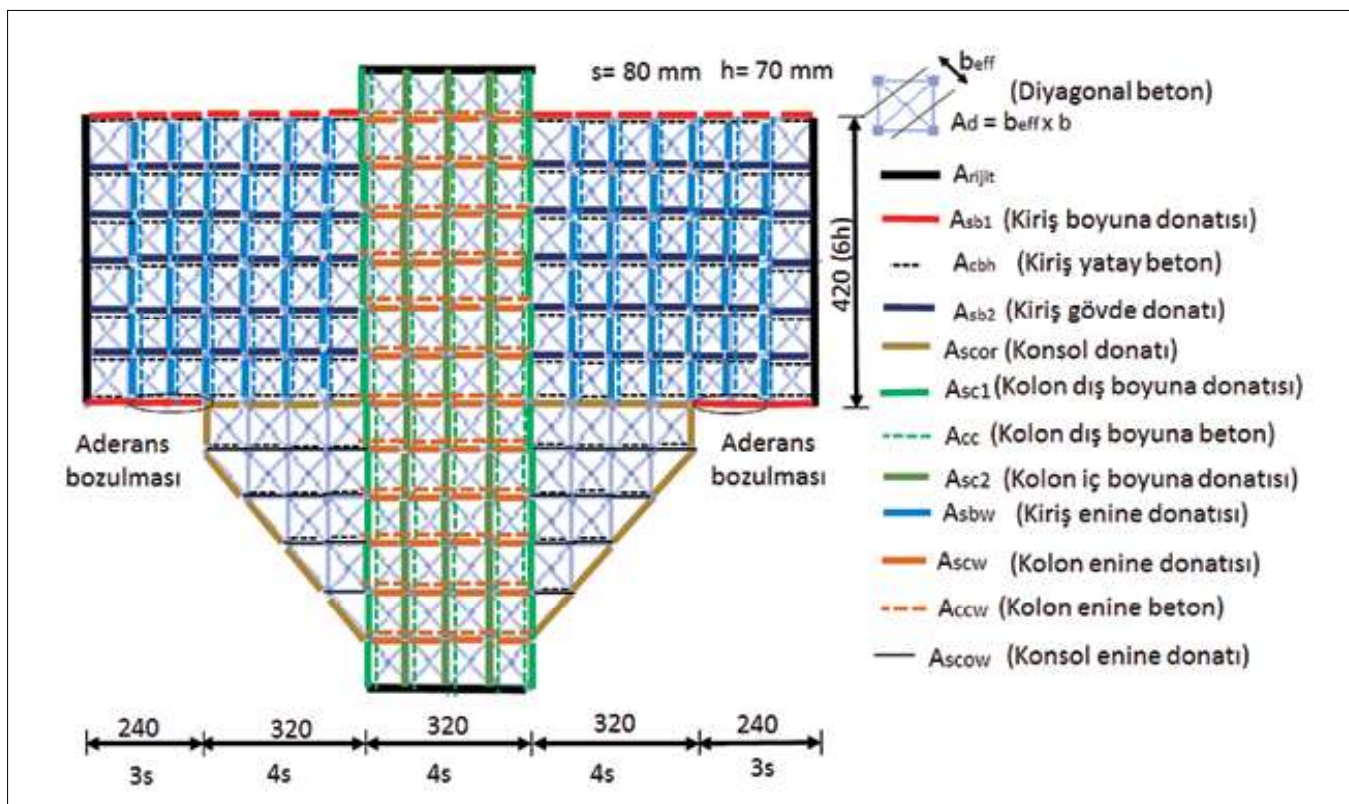


Şekil 4. Kafes kiriş modelindeki beton ve donatı çeliği içi etkili alanlar

mayan kafes elemanlar düşey ve yatay doğrultulardaki donatı ve beton ile diyagonal doğrultudaki beton temsil etmektedir. Diyagonal doğrultudaki beton kafes elemanlarında basınç doğrultusunda çift eksenli etkileri dikkate alan beton malzeme modeli kullanılmıştır. Yatay ve düşeydeki beton kafes elemanlarında ise beton malzeme modeli çekme güçlenmesini dikkate almaktadır [10].

Şekil 4'de düşey, yatay ve diyagonal kafes sistem elemanlarının etkili alanları bir kiriş en kesiti için gösterilmiştir. Buna göre s düşey elemanlar arası uzunluğu, h yatay elemanlar arası uzunluğu göstermektedir.

Prefabrik kolon-kiriş bağlantısının (Şekil 1) birleşim bölgesinde kafes kiriş modeli, kolon ve kirişlerde boyuna ve enine donatıların yerlesimine göre



Şekil 5. Kafes kiriş modeli ve çubuk elemanları

Tablo 1. Kafes kiriş modelinde çubuk eleman alanları (mm^2)

A_{sb1}	A_{cbh}	A_{sb2}	A_{scor}	A_{sc1}	A_{cc}	A_{sc2}	A_{sbw}	A_{cbw}	A_{scw}	A_{ccw}	A_{scow}
763.4	21000	39.3	1270	1520.5	32000	760.3	235.6	24000	157.1	28000	226.2

belirlenmiştir. Kafes sistemi oluşturan çubuk elemanlar Şekil 5'de verilmektedir ve diyagonal elemanların yatayla yaptığı açı (θ_d) 410° dir. Kiriş gövdesindeki yatay donatılar gövde donatı alanlarının çubuk sayısına bölünmesi ile elde edilmiştir. Aderans bozulması uygulanan kiriş alt boyuna donatıları uzunluk boyunca bir adet kafes çubuk ile tanımlanmıştır. Kafes sistem elemanlarının alanları Tablo 1'de verilmektedir.

4. MALZEME MODELLERİ

Kolon-kiriş bağlantısı sayısal modellerinde kullanılan ve Lu ve Panagiotou (2014) [10] tarafından geliştirilen beton gerilme-birim deformasyon

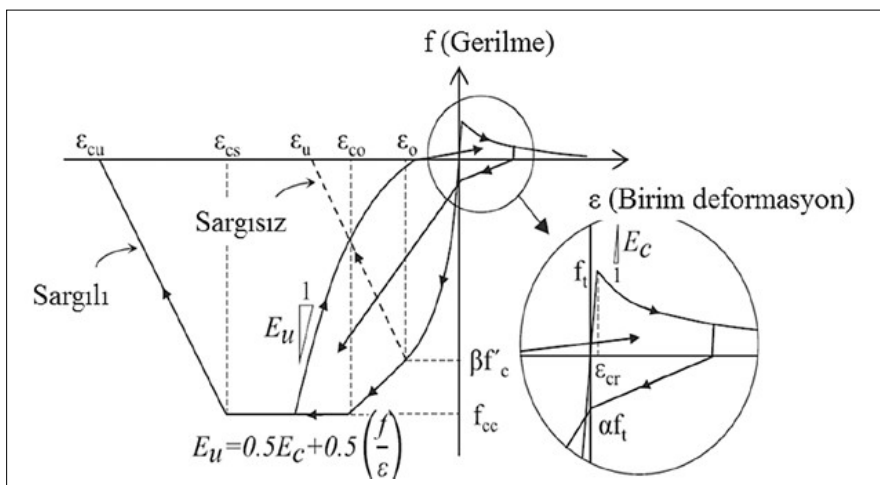
ilişkileri Şekil 6a'da verilmektedir. Sarıgısız beton basınç dayanımı ($f'_c = 42 \text{ MPa}$), $\varepsilon_o = \% 0.2$ birim deformasyona karşılık gelmektedir. Beton başlangıç elastisite modülü, $E_c = 5000 \sqrt{f'_c}$ (MPa) ile hesaplanmıştır. Basınç bölgesinde ulaşılan basınç dayanımı sonrasında azalan kısımda ε_u değeri Lu ve Panagiotou (2014) tarafından verilen yönteme göre belirlenmiştir [10]. Sargılı betonun basınç dayanımı ve en büyük birim şekildeğiştirmesi Mander beton modeline göre hesaplanmıştır [17].

Yatay ve düşeydeki beton kafes elemanlarının çekme dayanımı, $f_t' = 0.33 \sqrt{f'_c}$ (MPa) olarak alınmıştır. Çekme dayanımına ulaştıktan sonraki azalma,

Stevens (1991) tarafından verilen çekme güçlenmesi denklemine göre belirlenmiştir [16]. Diyagonal beton kafes elemanlarında ise çekme dayanımı dikkate alınmamıştır.

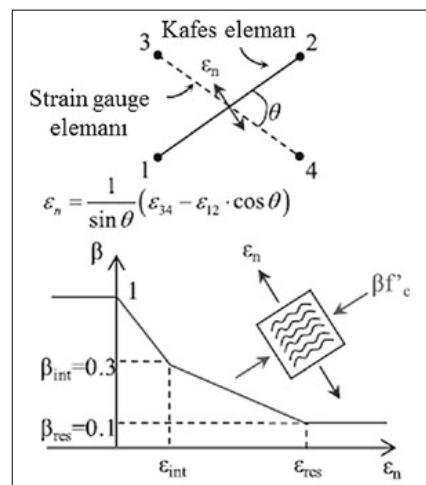
Diyagonal beton kafes elemanlarında beton basıncının enine doğrultudaki çekme birim deformasyonlarına bağlı değişimi Vecchio ve Collins (1986) çalışmasındaki deneyel gözlemlere göre dikkate alınmıştır [18]. Analizin her adımında diyagonal kafes elemanlarındaki basınç gerilmeleri enine doğrultudaki çekmeye bağlı olarak azaltma katsayı ile çarpılmıştır (Şekil 6b).

Kolon ve kirişteki enine ve boyuna donatılarda Kunnath v.d. (2009) [19]



(a)

Şekil 6. (a) Beton malzeme modelleri için gerilme-şekil değerlendirme ilişkileri,



(b)

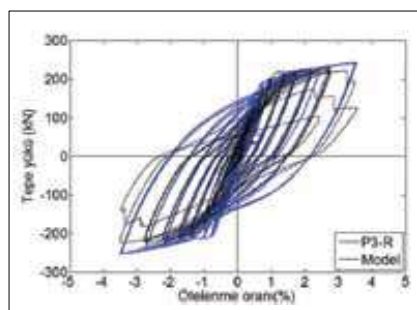
(b) Enine birim deformasyon ve β katsayıları değişiminin hesaplanması [11]

tarafından önerilen donatı malzeme modeli tanımlanmıştır. OpenSees'de beton malzeme modeli Concretewbeta donatı malzeme modeli ise ReinforcingSteel olarak yer almaktadır.

5. ANALİZ SONUÇLARI ve DEĞERLENDİRİLMESİ

P3-R kolon-kiriş bağlantısı için deney-sel çalışmada elde edilen ve sayısal modelde hesaplanan tepe yükü- yer-değiştirme grafikleri Şekil 8'de veril-miştir. Sayısal model %3.5 ötelenme oranının 2. çevrimine kadar deneysel çalışmada elde edilen dayanıma yakın degerdedir. Sayısal modelde başlangıç rıjtılığı 20.1 kN/mm, deneysel çalışmada başlangıç rıjtılığı ise 13.4 kN/mm olarak hesaplanmıştır.

Yapısal elemanlarda tüketilen birikimli enerji, her bir ötelenme oranına karşılık gelen çevrimisel döngü içerisinde kalan alanın toplamına eşittir. Deneysel çalışmada elde edilen birikimli tüketilen enerji ile sayısal modelde hesaplanan değerler Şekil 9'da karşılaştırılmıştır. Buna göre %2 ötelenme oranından sonra sayısal modeldeki enerji tüketimi, deneysel çalışmada elde edilene göre %15 oranında artış göstermiştir.



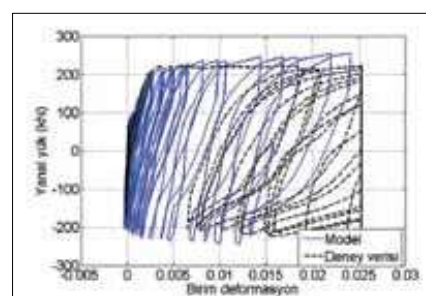
Şekil 8. P3-R bağlantısı için deney-sel çalışma ile sayısal modelin tepe yükü- yer-değiştirme grafikleri

Aderans bozulması yaklaşımı uygulan-kırmızı alt boyuna donatıları için he-saplanan birim deformasyonlar %2.4 degerine ulaşmıştır. Tepe yükü- kırmızı boyuna donatıları birim deformasyon-

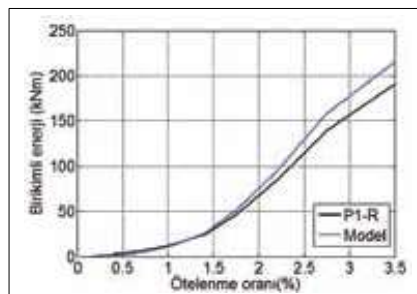
larının değişimi Şekil 10'da verilmek-tedir.

6. SONUÇLAR

Çalışma kapsamında, aderans bozul-ması yaklaşımı uygulanan üstte is-lak-altta kaynaklı moment aktarabilen



Şekil 10. Kiriş boyuna donatısı birim deformasyonlarının tepe yüküne bağlı değişimi



Şekil 9. Tüketilen birikimli enerjinin sayısal model ve deney-sel çalışma ile kıyaslanması

kolon-kiriş bağlantıları için kafes kiriş analoji ile sayısal model çalışmaları gerçekleştirmiştir. Sayısal modelde, kiriş üst boyuna donatılarının birleşim içerisindeki aderans sıyrılmaması (bond slip) etkileri göz önüne alınmamıştır. Bu sebeple hesaplanan başlangıç rıjtılığı, deneysel çalışmada elde edilen başlangıç rıjtılığının 1.5 katı olarak hesaplanmıştır. Sayısal model ile de-neyde elde edilen tepe yükü-ötelenme

oranı, birikimli enerji tüketimleri ve donatı birim deformasyonları kıyaslanmıştır. Sayısal model, üstte ıslak-altta kaynaklı prefabrik kolon-kiriş bağlanmasıının çevrimisel davranışını temsil edebilmektedir.

TEŞEKKÜR

Deneysel çalışma Türkiye Prefabrik Birliği tarafından maddi ve teknik yönden desteklenmiştir. Çalışmamımıza verdikleri değerli katkı ve önerileri için Prof. Dr. Şevket ÖZDEN'e, İnş. Yük. Müh. Hakan ATAKÖY'e ve İnş. Müh. Gündüz BARKA'ya çok teşekkür ederiz. Deneysel çalışmaya verdikleri desteklerinden dolayı Doç. Dr. İbrahim SERKAN MISIR'a, Prof. Dr. Türkay BARAN'a ve Doç. Dr. Özgür ÖZÇELİK'e teşekkürlerimizi sunarız.

KAYNAKLAR

- 1 Yüksel, E., Karadoğan, H. F., Bal, İ. E., İlki, A., Bal, A., and Inci, P. (2015). Seismic behavior of two exterior beam-column connections made of normal-strength concrete developed for precast construction. *Engineering Structures*, 99 (157-172).
- 2 Girgin, S. C. (2014). Moment aktaran prefabrik betonarme kompozit iç kolon-kiriş bağlantılarının iyileştirilmesi. Doktora Tezi, Dokuz Eylül Üniversitesi, İzmir.
- 3 Ibarra, L. F., Medina, R. A., and Krawinkler, H. (2005). Hysteretic models that incorporate strength and stiffness deterioration. *Earthquake Engineering and Structural Dynamics*, 34, 1489-1511.
- 4 Jnaid, F. and Aboutaha, R.S. (2014). Residual flexural strength of reinforced concrete beams with unbonded reinforcement. *ACI Structural Journal*, 111(6), 1419-1430.
- 5 Pampanin, S., Priestley, M. J. and Sritharan, S. (2001). Analytical modeling of the seismic behaviour of precast concrete frames designed with ductile connections. *Journal of Earthquake Engineering*, 5 (3), 239-367, 2001.
- 6 Priestley, M.J.N., Calvi, G.M. and Kowalsky, M.J. (2007). Displacement-Based Seismic Design of Structures (1st ed.). Italy: IUSS Press.
- 7 Jeong, H., Sakai, J., and Mahin, S. (2008). Shaking table tests and numerical investigation of self-centering reinforced concrete bridge columns. PEER Report.
- 8 Trono, W., Jen, G., Ostertag, C.P. and Panagiotou, M. (2013). Tested and modeled seismic response of a rocking, post-tensioned HyFRC bridge column, Seventh National Seismic Conference on Bridges and Highways, Oakland, USA.
- 9 To, N., Sritharan, S., and Ingham, J. (2009). Strut-and-tie nonlinear cyclic analysis of concrete frames. *J. Struct. Eng.*, 135:10(1259), 1259-1268.
- 10 Lu, Y. and Panagiotou, M. (2014). Three-dimensional cyclic beam-truss model for non-planar reinforced concrete walls, *Journal of Structural Engineering*, 140(3).
- 11 Moharrami M., Koutromanos I., Panagiotou M., Girgin S.C. (2015). Analysis of shear-dominated RC columns using the nonlinear truss analogy, *Earthq. Eng. Struct. Dyn.*, 44(5), 677-694.
- 12 Bowers, J.T. (2014). Nonlinear cyclic truss model for beam-column joints of non-ductile RC frames. M.Sc. thesis, Virginia Polytechnic and State University.
- 13 Girgin, S.C., Kahraman, S., Mısır, İ.S. (2015). Prefabrik kompozit kolon-kiriş bağlantılarının sismik performansının deneysel araştırılması, 3. Türkiye Deprem ve Sismoloji Konferansı bildirileri, İzmir.
- 14 McKenna, F., Fenves, G. L., Scott, M. H., and Jeremic, B. (2015). Open system for earthquake engineering simulation. <http://opensees.berkeley.edu>.
- 15 Kostic, S. M., and Filippou, F.C. (2012). Section discretization of fiber beam-column elements for cyclic inelastic response. *Journal of Structural Engineering*; 138 (5): 592-601.
- 16 Stevens, N. J., Uzumeri, S. M., Collins, M. P., and Will, T. G. (1991). Constitutive model for reinforced concrete finite element analysis, *ACI Structural Journal*, 99 (10), 2109-2122.
- 17 Mander, J.B., Priestley, M.J.N., ve Park, R. (1988). Theoretical stress-strain model for confined concrete, *Journal of Structural Division (ASCE)*, 114 (8), 1804-1826.
- 18 Vecchio, F. G. and Collins, M.P. (1986). The modified compression field theory for reinforced concrete elements subjected to shear, *Journal of the American Concrete Institute*, 83(2), 219-231.
- 19 Kunnath, S., Heo, Y., and Mohle, J. (2009). Nonlinear Uniaxial Material Model for Reinforcing Steel Bars. *J. Struct. Eng.*, 135:4(335), 335-343.